Mechanisches Fügen spröder Werkstoffe – Hochfeste Al-Legierungen und Magnesium

Mathias Jäckel, Christian Kraus Fraunhofer-Institut für Werkzeugmaschinen und Umformtechnik IWU

> 4. VDI-Fachkonferenz Fügen im Automobilbau 27. und 28. Januar 2015 in Eisenach



Agenda

1. Einleitung

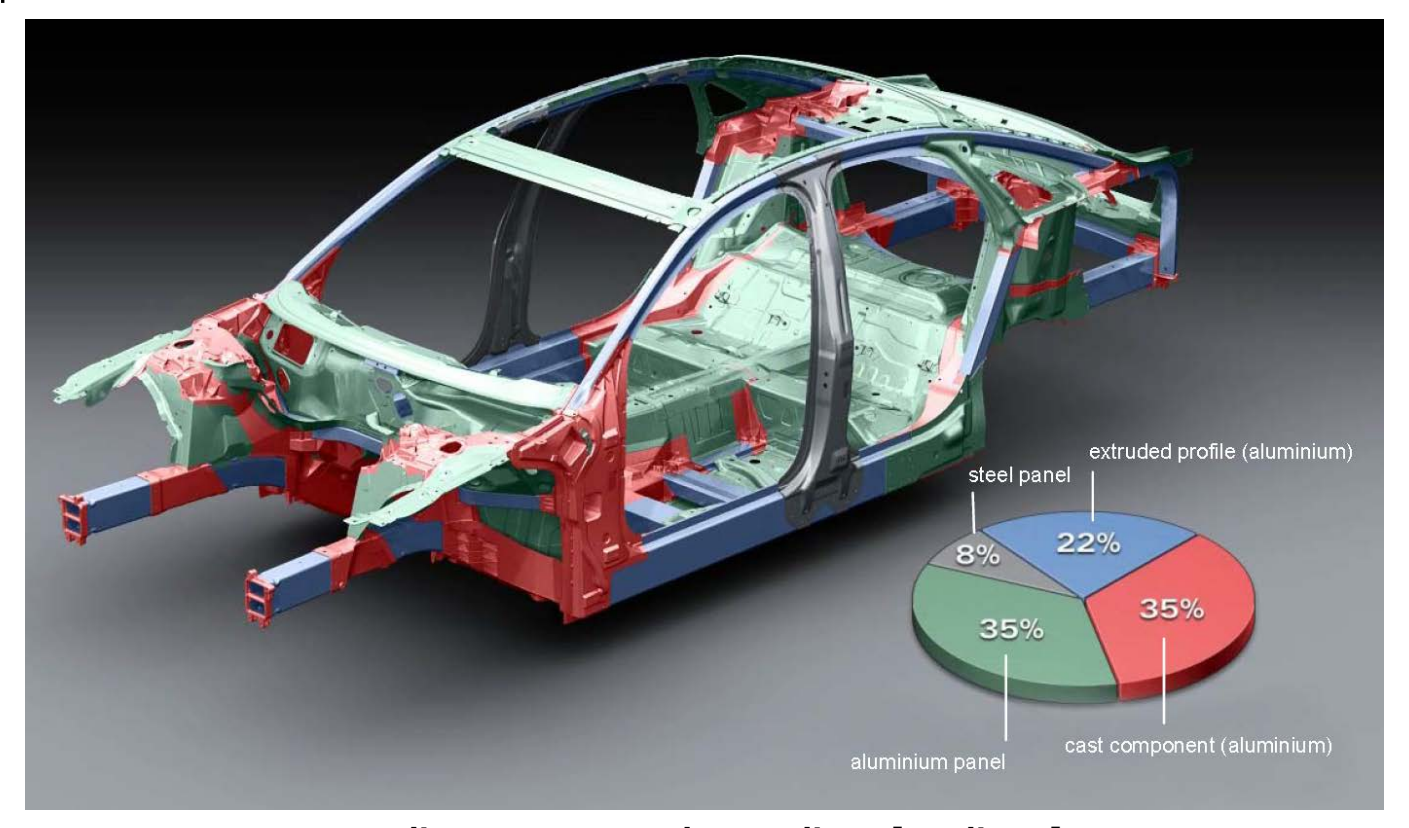
2. Serielles Halbhohlstanznieten von naturhartem Aluminiumdruckguss

3. Vollstanznieten hochfester Aluminiumlegierungen

4. Thermisch unterstütztes Clinchen von Magnesium

Automobiler Leichtbau

Audi Space Frame



Audi Space Frame des Audi A8 [Audi AG]

- Beispiel: Mischbau mit sprödem Aluminiumdruckguss
- → Steigende Anforderungen an die mechanische Fügetechnik



Agenda

1. Einleitung

2. Serielles Halbhohlstanznieten von naturhartem Aluminiumdruckguss

3. Vollstanznieten hochfester Aluminiumlegierungen

4. Thermisch unterstütztes Clinchen von Magnesium

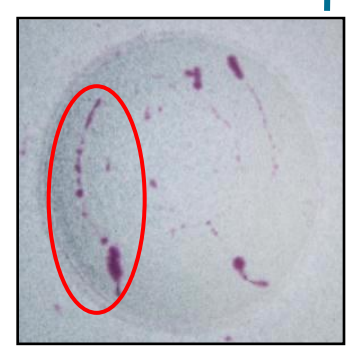
Konv. Halbhohlstanznieten naturharter Al-Druckguss

Fügepunktanalyse

Verfahrensparameter			Schliffbild				Schließkopf		
Stempels. Fügeteil:		Dicke:			7				
EN AW-6016 T4		2,0 mm		Ø .			No.		
Matrizens. Fügeteil:		Dicke:						13	
AlSi9Mn F		2,0 mm							
Niet:	C Ø5,3 x 5,0 H4 (SK)					34 10 20 20			
Matrize:	KM Ø10 x 1,3					1 mm			
Setzkraft:	65 kN					—		2 mm	
Fügesystem:	Promess	300	Werte Fügeergebnis						
Klebstoff:	-		Hinterschnitt u _{1,2} :	0,04 mm	Bodendicke t _r :	0,58 mm	Fußdurchm. d _f :	6,5 mm	

Schliffbild und Prozessparameter der seriellen Halbhohlstanznietverbindung

- Geringer Hinterschnitt
- Teilweise Rissbildung im matrizenseitigen Fügeteil erkennbar

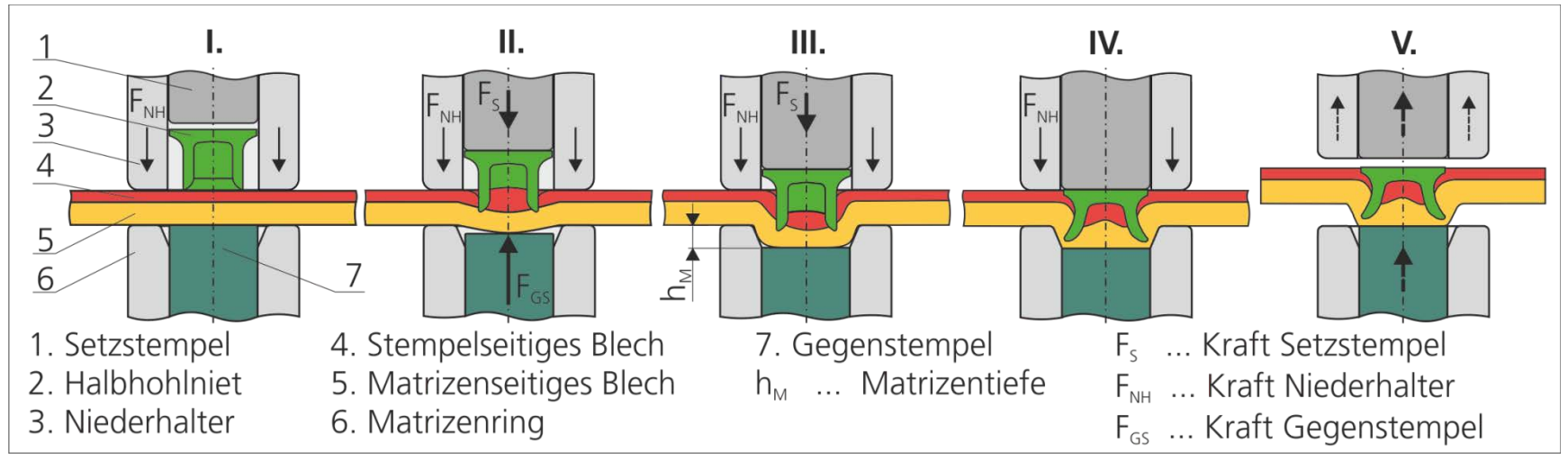


Farbeindringtest



Serielles Halbhohlstanznieten

Verfahrensablauf mit kraftgeregeltem Gegenstempel



Verfahrensprinzip serielles Halbhohlstanznieten mit kraftgeregeltem Gegenstempel

Merkmale:

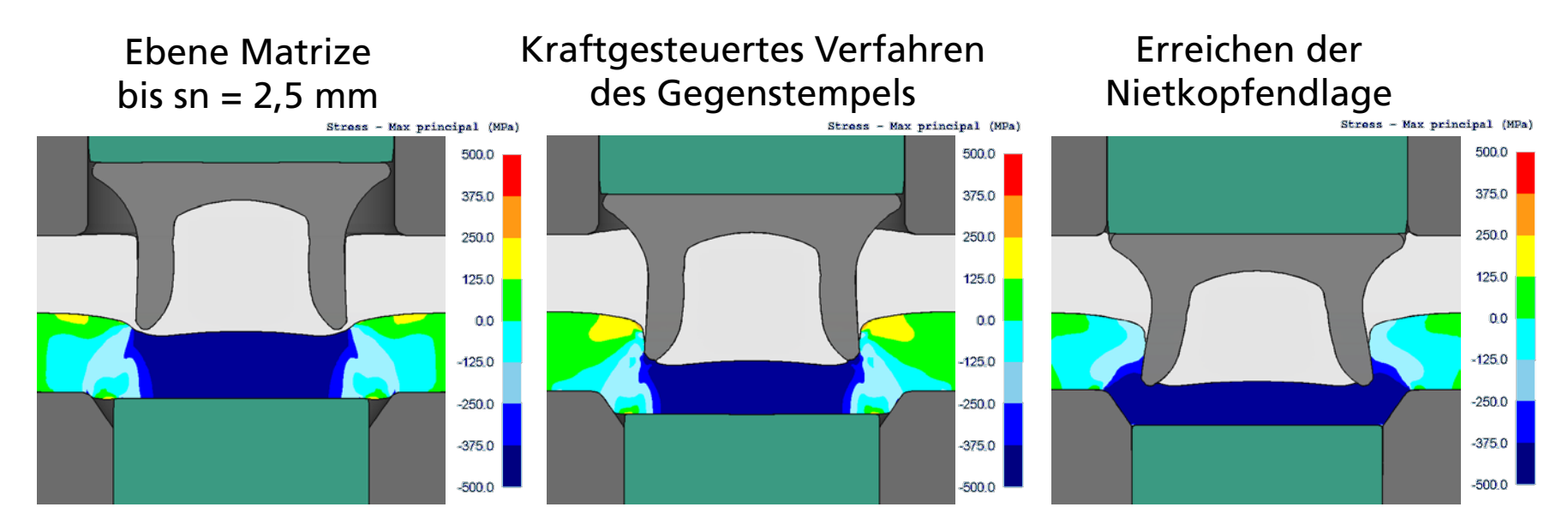
Erzeugung von zusätzlichen Druckspannungen in der Fügezone

Ziel:

Bei spröden Halbzeugen Druckspannungsüberlagerung, um Rissneigung zu verringern



Numerische Prozessentwicklung



Ergebnis der numerischen Prozessentwicklung für das kraftgesteuerte serielle Halbhohlstanznieten in unterschiedlichen Prozessstufen

- Ziel: bestmögliche Druckspannungsüberlagerung der Umformzone bei gleichzeitigem Erreichen ausreichender Werte für Hinterschnitt und Bodendicke
- Ergebnis: bei erarbeitetem Matrizendesign und der Verwendung einer Gegenkraft von F_{GS} = 25 kN wird der gesamte Schließkopf durchgängig durch den Fügeprozess mit Druckspannungen überlagert



Versuchseinrichtung

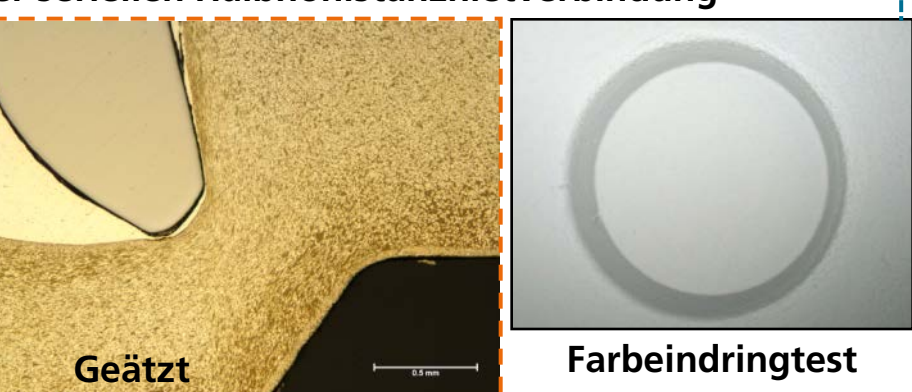


Fügepunktanalyse

Verfahrensparameter			Schliffbild				Schließkopf		
Stempels. Fügeteil:		Dicke:				A STREET, STRE	一		
EN AW-6016 T4		2,0 mm					9		
Matrizens. Fügeteil:		Dicke:							
AlSi9Mn F		2,0 mm							
Niet:	C Ø5,3 x 4,5 H4 (SK)				·/ /				
Matrize:	SM Ø8 x 1,0								
Setzkraft:	60 kN					1 mm		2 mm	
Gegenkraft:	25 kN					1 mm			
Fügesystem:	Promess	300	Werte Fügeergebnis						
Klebstoff:	-		Hinterschnitt u _{1,2} :	0,16 mm	Bodendicke t _r :	0,98 mm	Fußdurchm. d _f :	6,3 mm	

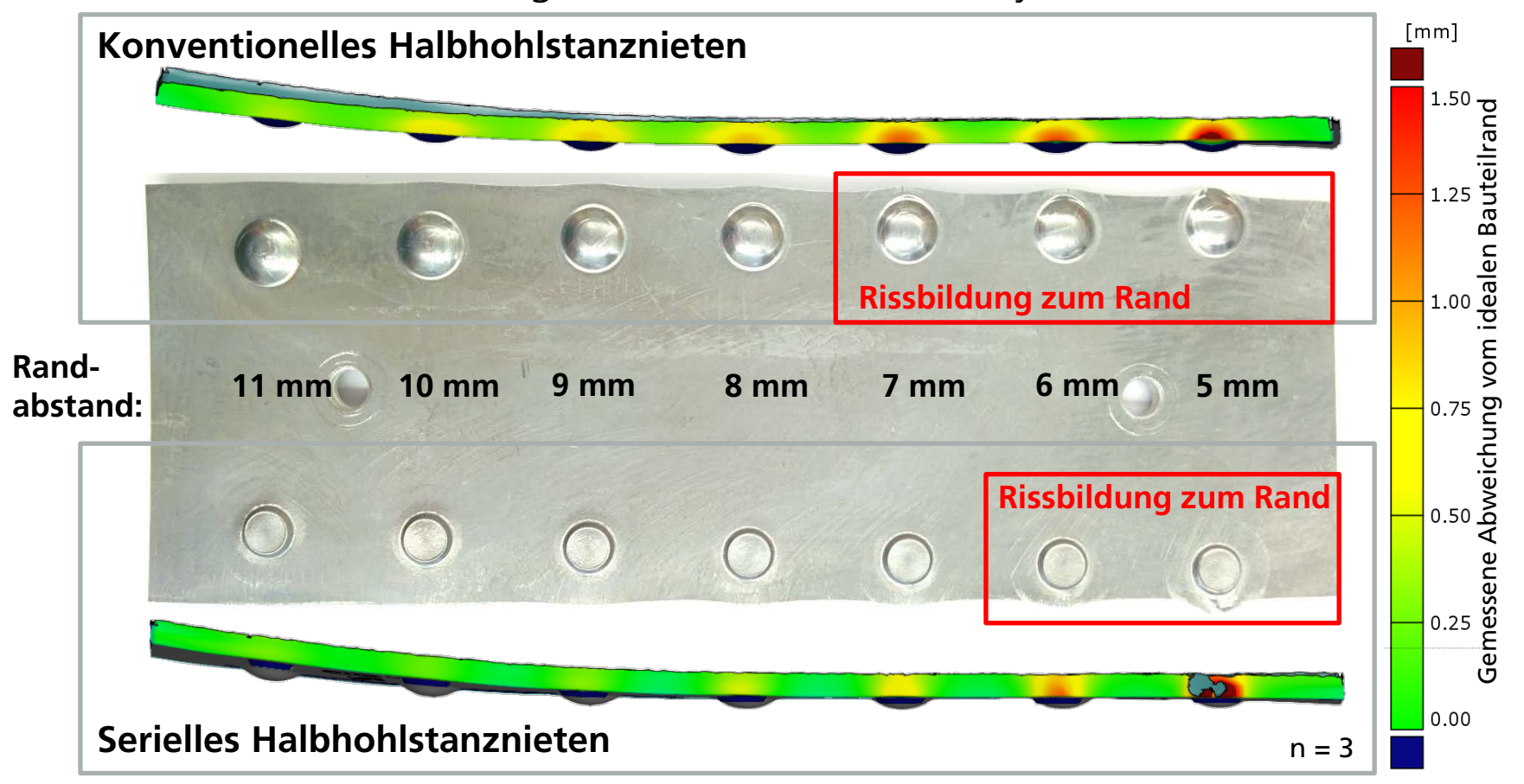
Schliffbild und Prozessparameter der seriellen Halbhohlstanznietverbindung

- Ausreichender Hinterschnitt
- Es konnte keine Rissbildung im Schließkopf festgestellt werden





Bauteildeformation – Vergleich Randabstandsanalyse



Vergleich der durch das konventionelle und serielle Halbhohlstanznieten verursachten Deformation am Bauteilrand bei unterschiedlichen Abständen zwischen Bauteilrand und Fügepunkt



Agenda

1. Einleitung

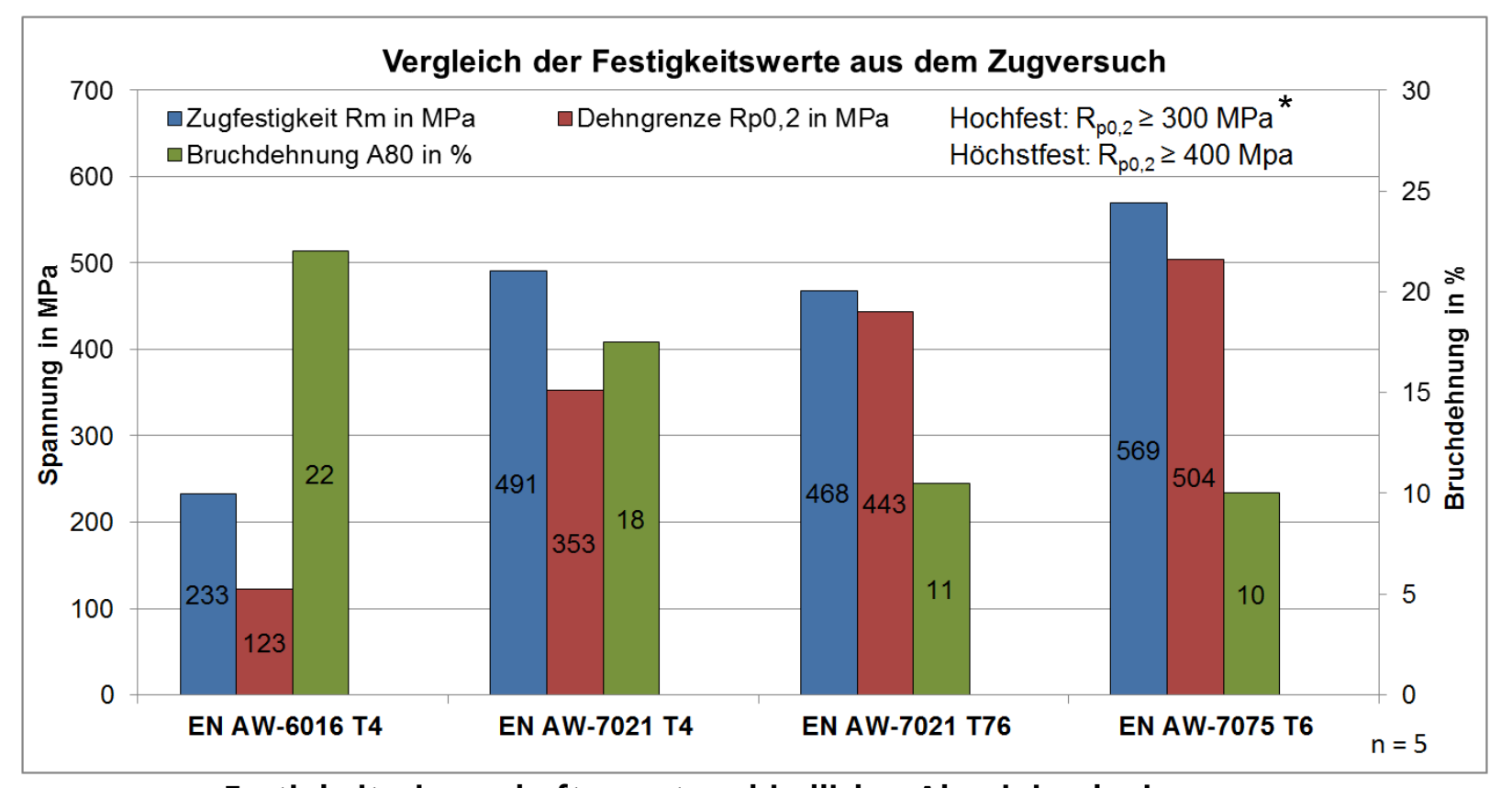
2. Serielles Halbhohlstanznieten von naturhartem Aluminiumdruckguss

3. Vollstanznieten hochfester Aluminiumlegierungen

4. Thermisch unterstütztes Clinchen von Magnesium

Hoch- und höchstfeste Aluminiumlegierungen

Mechanische Eigenschaften



Festigkeitseigenschaften unterschiedlicher Aluminiumlegierungen

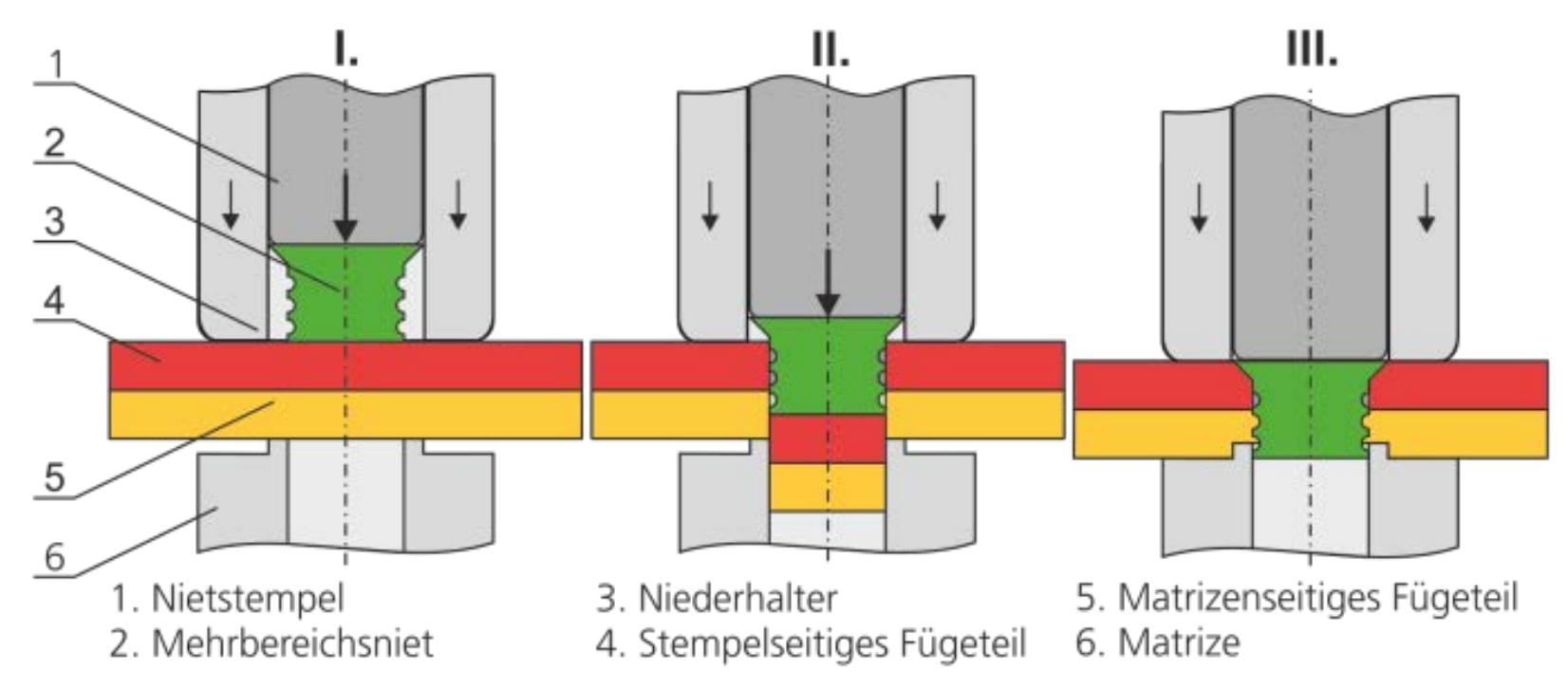
Abnehmende Duktilität bei zunehmender Festigkeit

* Quelle: European Aluminum Association



Vollstanznieten

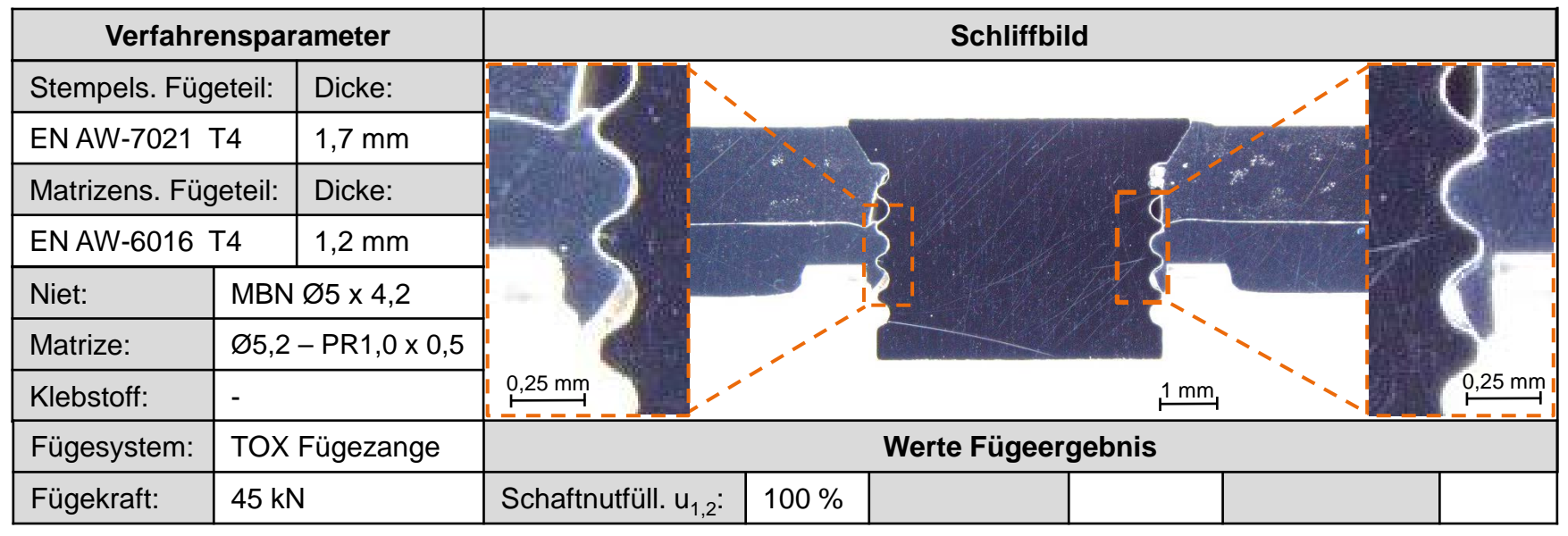
Verfahrensablauf



Schematische Darstellung Verfahrensprinzip Vollstanznieten

- Keine Störkontur
- Unterschiedliche Materialdickenkombinationen mit einem Niet möglich

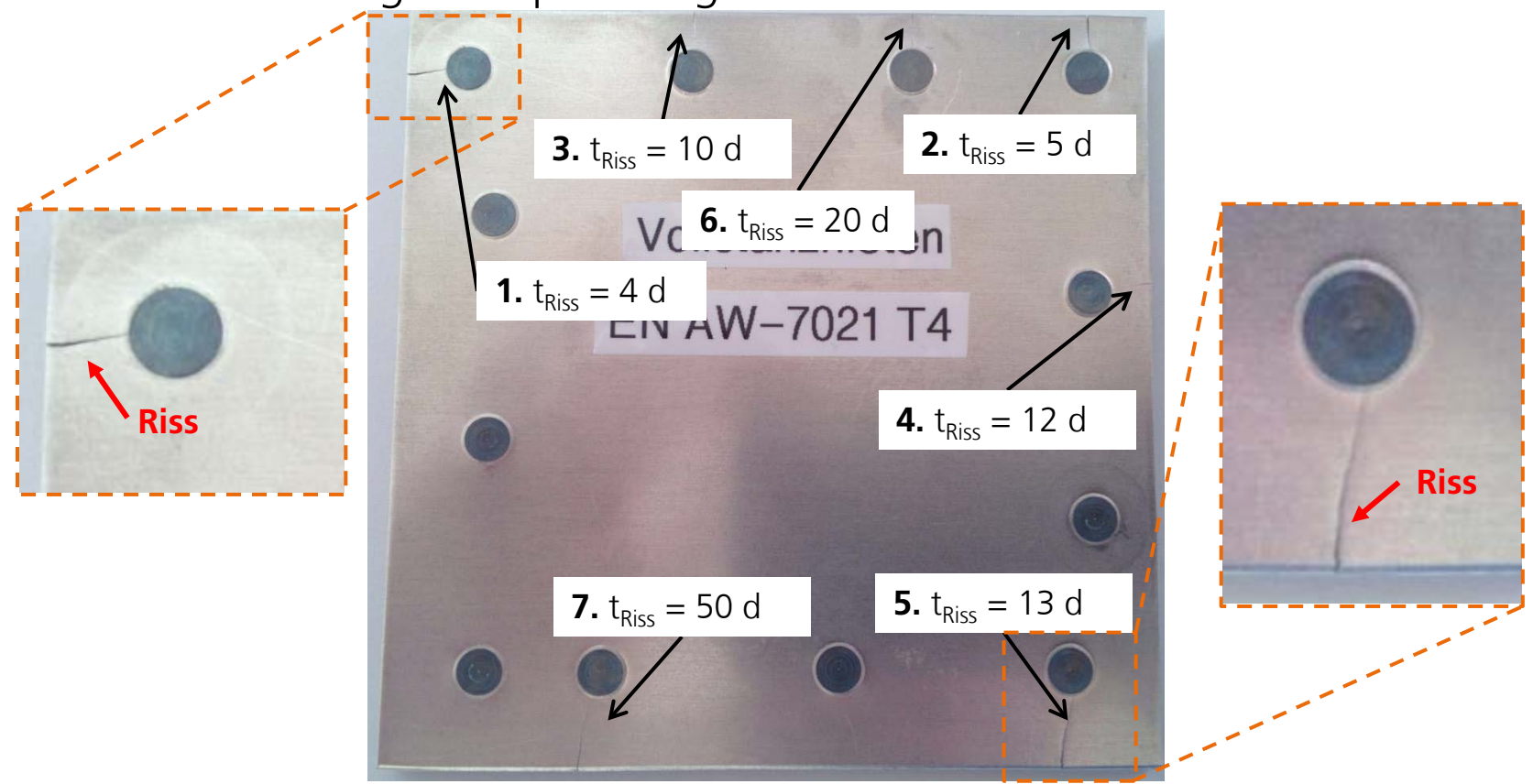
Fügepunktanalyse



Schliffbild und Prozessparameter der Vollstanznietverbindung

- Gute Fügepunktausbildung
- Vollständige Schaftnutfüllung

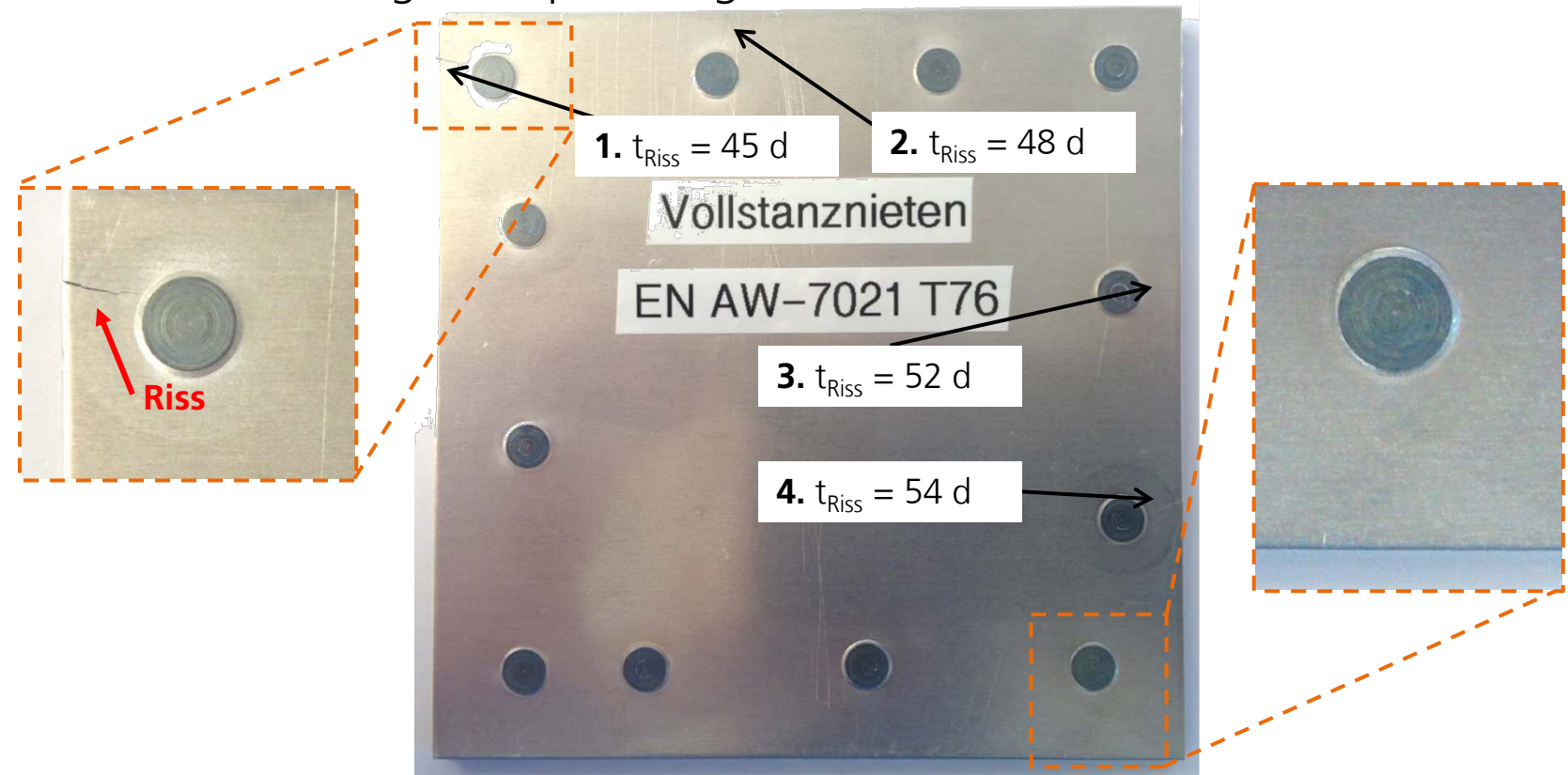
Test zur Entstehung von Spannungsrisskorrosion



Mehrpunktprobe mit unterschiedlichen Fügepunkt-Randabständen (8 mm, 12 mm)
– Vollstanznieten EN AW-7021 T4 (60 Tage nach dem Fügen)

 Verzögerte Rissbildung im EN AW-7021 T4 zwischen Fügepunkt und Bauteilrand in beiden Walzrichtungen im Zeitraum von 5 bis 50 Tagen nach dem Fügen

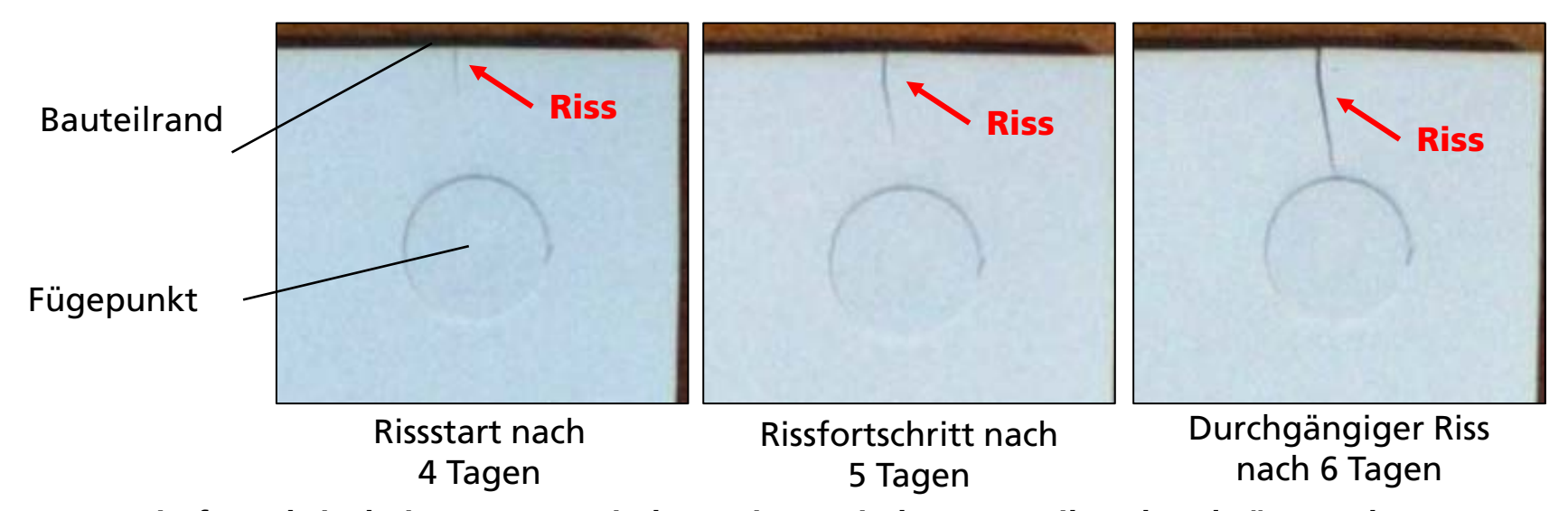
Test zur Entstehung von Spannungsrisskorrosion



Mehrpunktprobe mit unterschiedlichen Fügepunkt-Randabständen (8 mm, 12 mm) – Vollstanznieten EN AW-7021 T76 (60 Tage nach dem Fügen)

 Rissbildung im EN AW-7021 T76 zwischen Fügepunkt und Bauteilrand in beiden Walzrichtungen ab 45 Tagen nach dem Fügen

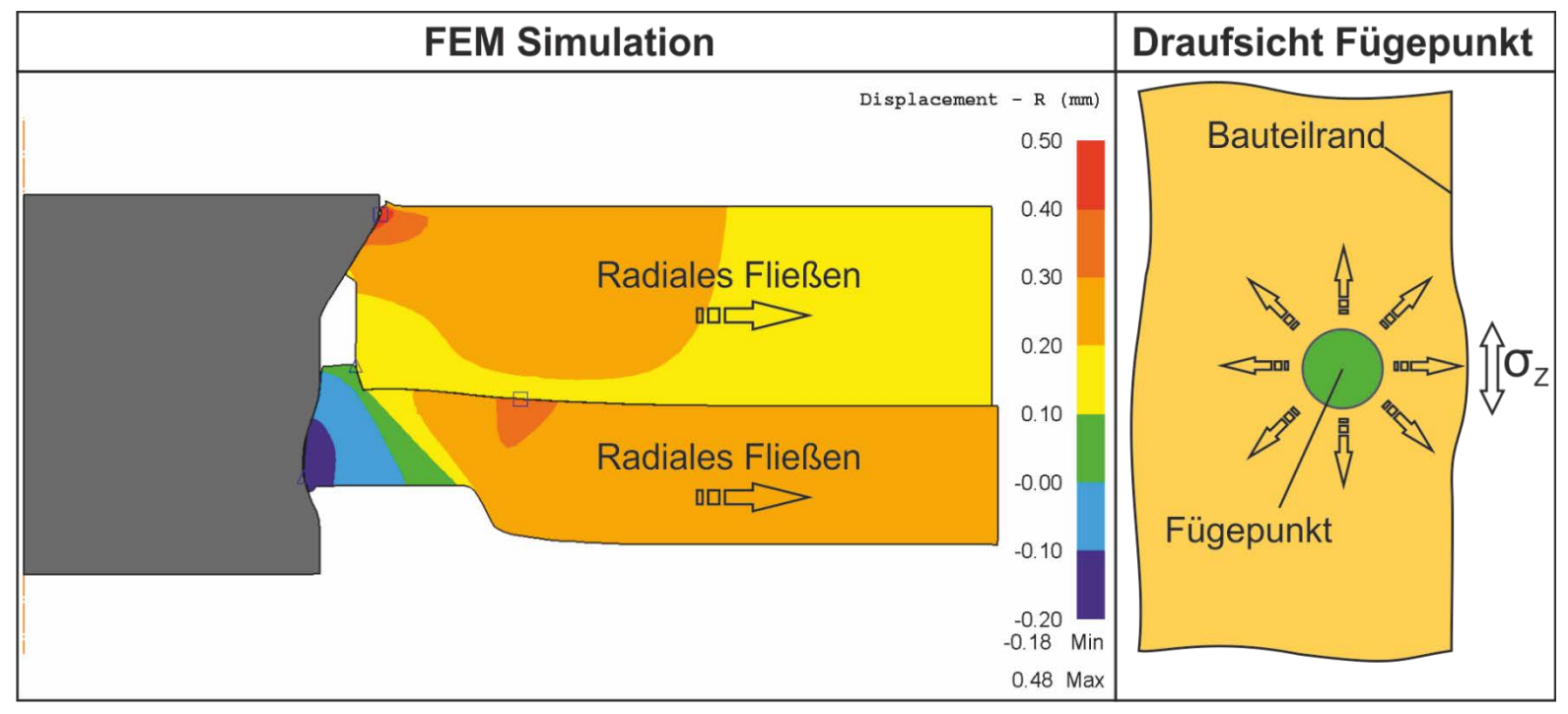
Spannungsrisskorrosion



Rissfortschritt bei Spannungsrisskorrosion zwischen Bauteilrand und Fügepunkt

- Rissstart am Bauteilrand
- Nach [Ostermann Anwendungstechnologie Aluminium] wird das Auftreten von Spannungsrisskorrosion unter anderem durch herrschende Zug-, Eigen- oder Kerbspannungen an Schnittkanten begünstigt

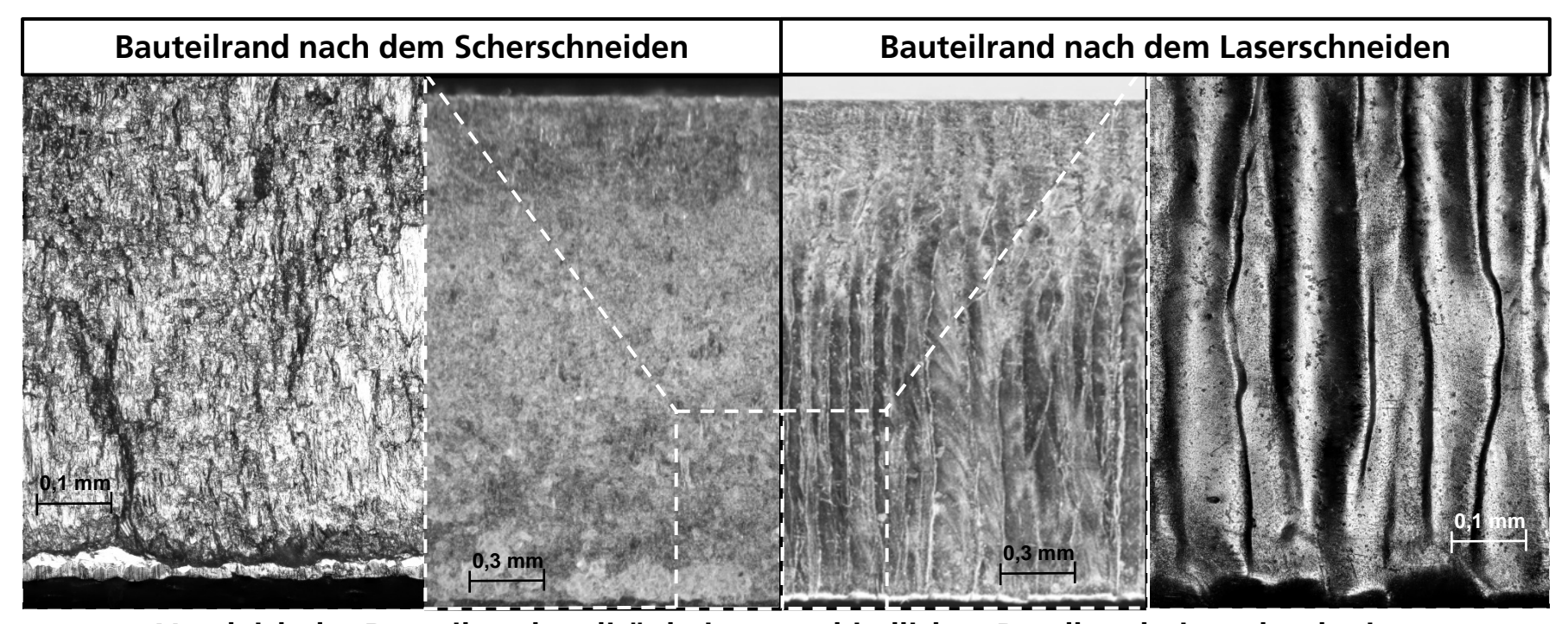
Analyse des Spannungszustands



Zusammenhang aus radialem Werkstofffluss (links) und der Entstehung tangentialer Zugspannungen am Bauteilrand (rechts) beim Vollstanznieten

 Durch das Einformen des Nietkopfes bzw. des Prägeringes entsteht radialer Werkstofffluss in den Fügeteilen, wodurch tangentiale Zugspannungen am Bauteilrand induziert werden

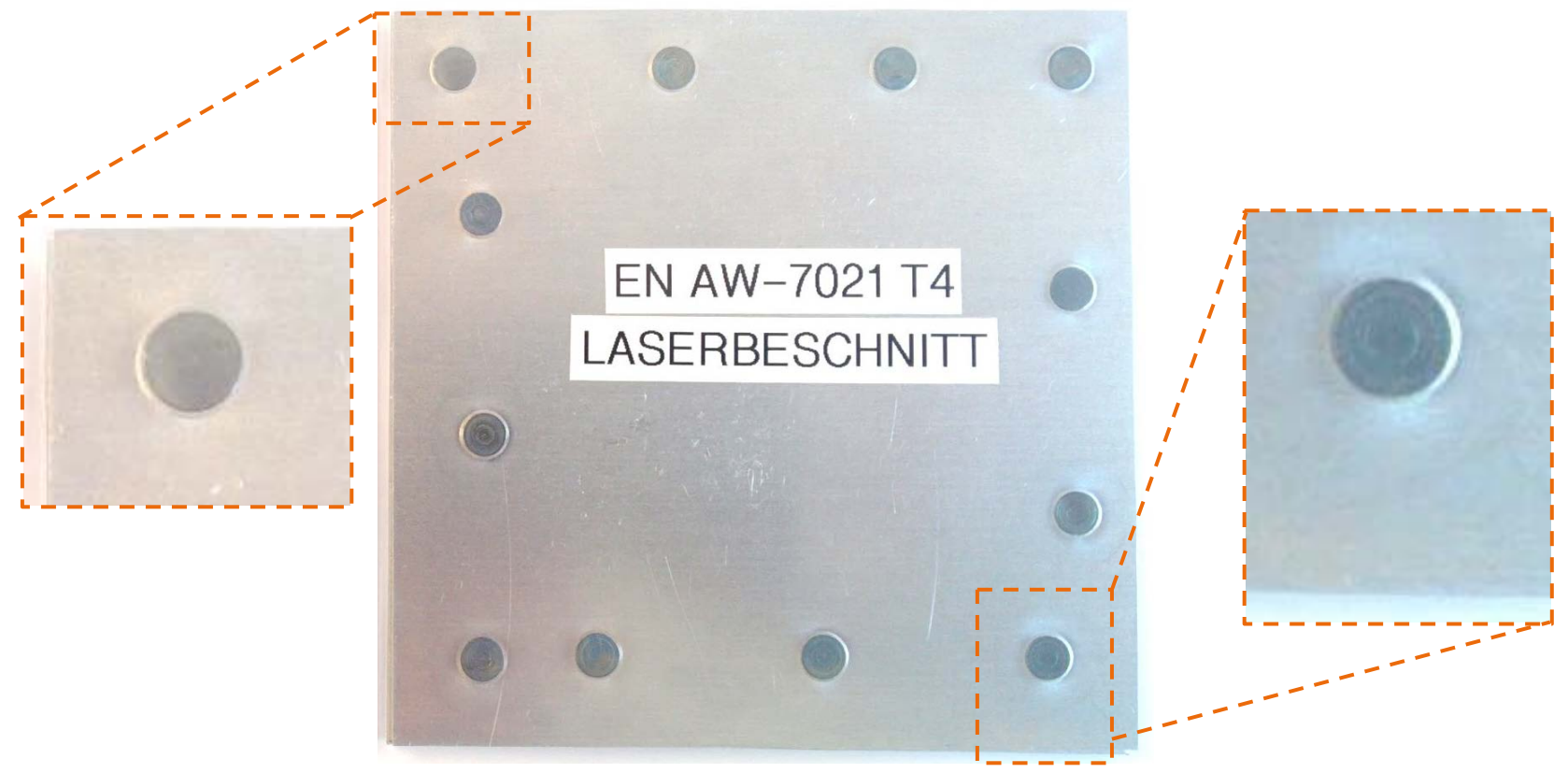
Analyse der Bauteilrandoberfläche



Vergleich der Bauteilrandqualität bei unterschiedlichen Randbeschnitttechnologien

- Die bisher dargestellten Fügeproben wurden mittels Scherschneiden beschnitten
- Reduzierung der am Bauteilrand durch den Beschnitt entstehenden Kerben durch Laserbeschnitt

Test zur Entstehung von Spannungsrisskorrosion



Mehrpunktprobe mit unterschiedlichen Fügepunkt-Randabständen (8 mm, 12 mm) – Laserbeschnitt und Vollstanznieten EN AW-7021 T4 (60 Tage nach dem Fügen)

 Bei laserbeschnittenen Bauteilen tritt keine Spannungsrisskorrosion nach dem Fügen auf

Agenda

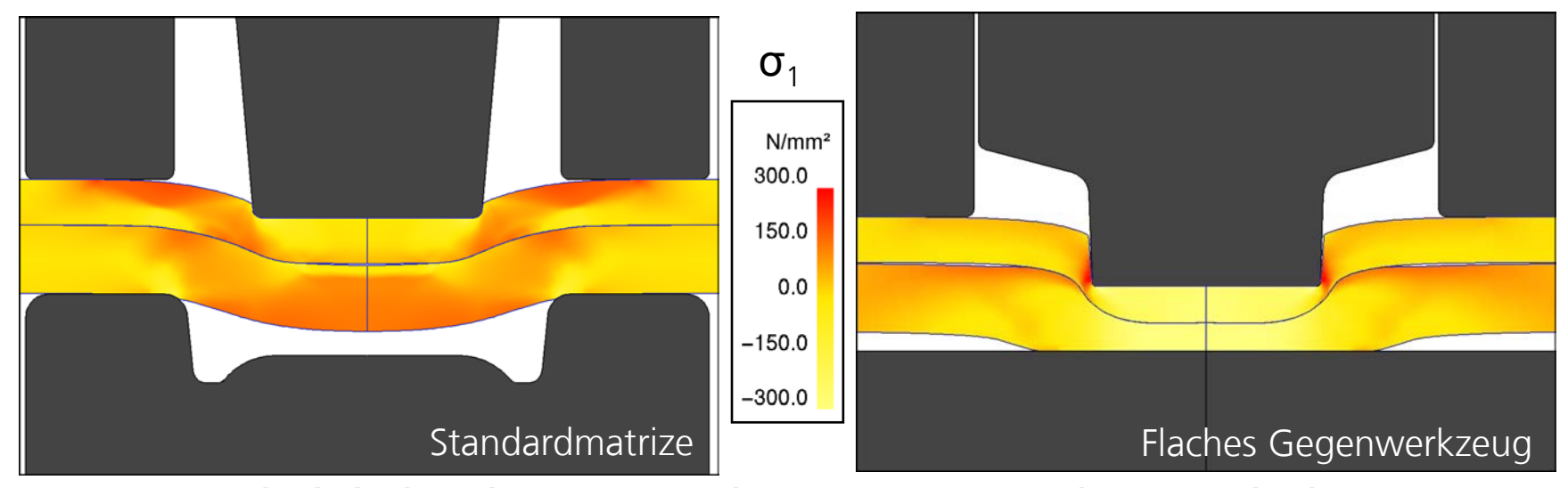
1. Einleitung

2. Serielles Halbhohlstanznieten von naturhartem Aluminiumdruckguss

3. Vollstanznieten hochfester Aluminiumlegierungen

4. Thermisch unterstütztes Clinchen von Magnesium

Spannungsverteilung während des Fügeprozesses



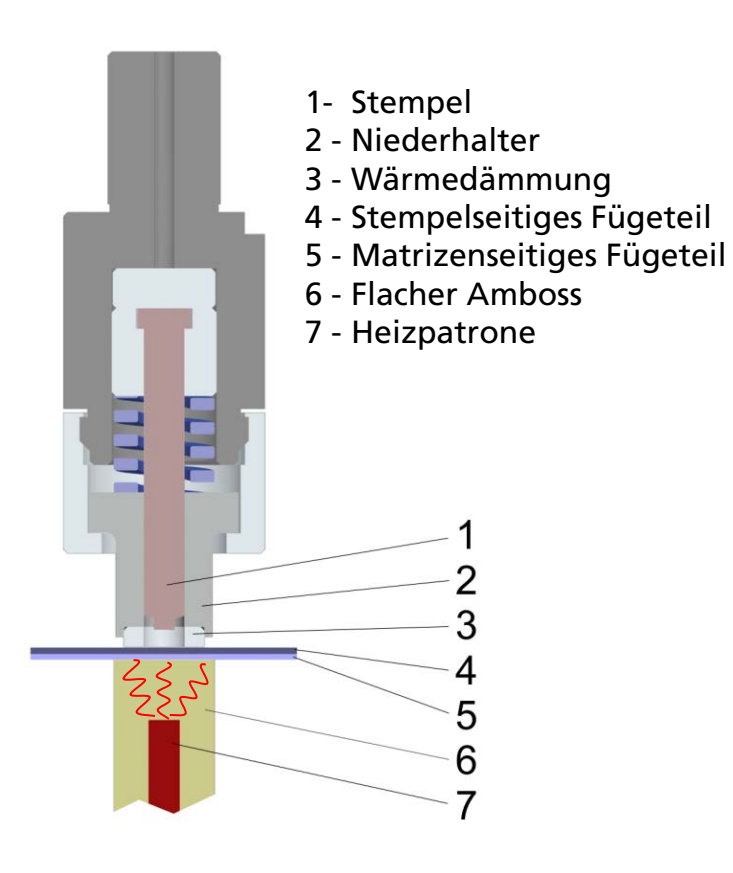
Vergleich der berechneten maximale Hauptspannung in den Fügeteilen beim konventionellen Clinchen (links) und beim Clinchen mit flachem Gegenwerkzeug (rechts)

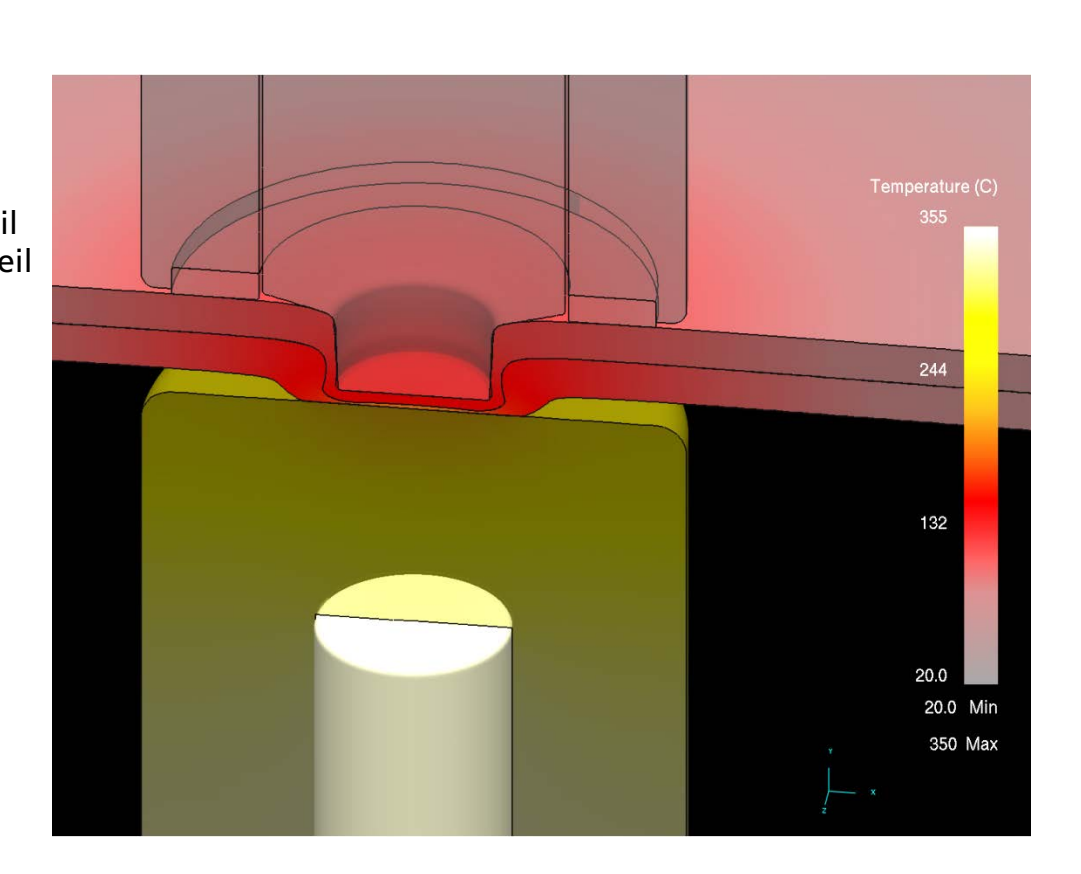
- Zugspannungen beim Durchsetzen in die Matrizenkontur
- Nur partieller Kontakt zwischen unterem Fügeteil und Matrize
- Risiko für Schließkopfrisse über gesamten Prozess

- Kein Durchsetzen in Matrizenkontur
- Flächiger Werkzeugkontakt bereits zu Prozessbeginn
- Druckspannungen überwiegen im gesamten Prozess



Werkzeugkonzept und Verfahrensablauf





Werkzeugkonzept (links) und Simulation (rechts) beim thermisch unterstützten Clinchen



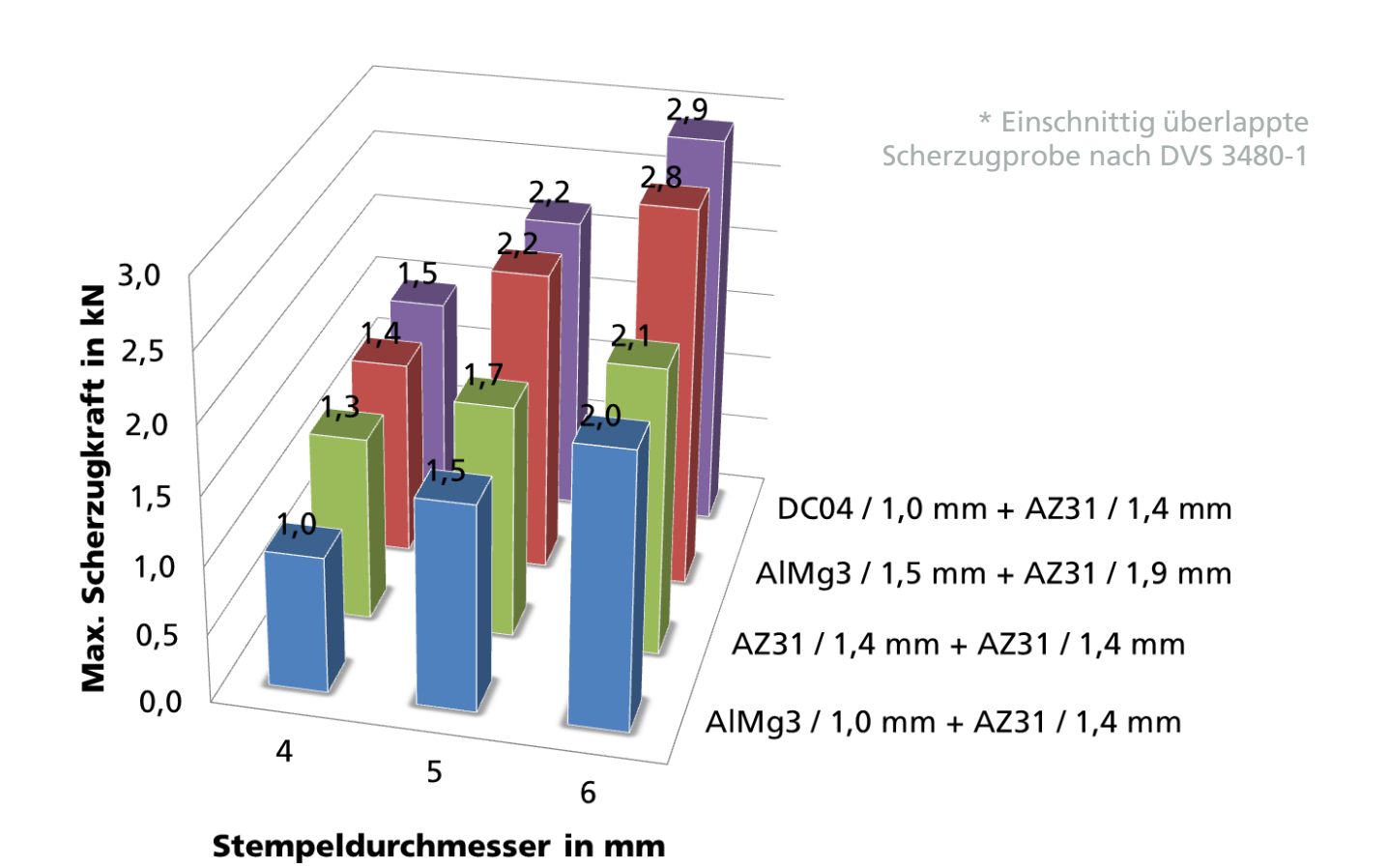
Fügepunktausbildung (Stempeldurchmesser $d_p = 4 \text{ mm}$)

DC04 / 0,5 mm + DC04 / 0,8 mm + DC04 / 1,0 mm + DC04 / 1,2 mm + AZ31 / 1,4 mm AZ31 / 1,4 mm AZ31 / 1,4 mm AZ31 / 1,4 mm (Fügekraft 17 kN) (18 kN) (23 kN) (25 kN) 1 mm → Hinterschnitt f ---Halsdicke tn ---Bodendicke tb 0,39 mm 0.33 mm ▲ 0,27 mm 0,22 mm 0,19 mm 0,13 mm 0,14 mm 0,16 mm 0,13 mm ▲ 0,08 mm 0.10 mm

Fügepunktausbildung in Abhängigkeit von der Dicke des stempelseitigen Fügeteils



Scherzugprüfung* ausgewählter Verbindungen



Max. Scherzugkraft unterschiedlicher Verbindungen in Abhängigkeit vom Durchmesser des Clinchstempels



Zusammenfassung

- Serielles Halbhohlstanznieten von naturhartem Aluminiumdruckguss:
 - Vermeidung von Rissbildung im Aluminiumdruckguss durch druckspannungsüberlagerten Halbhohlstanznietprozess

- Vollstanznieten hochfester Aluminiumlegierungen:
 - Risiko des Auftretens von Spannungsrisskorrosion kann durch Laserbeschnitt der Bauteile reduziert werden

- Thermisch unterstütztes Clinchen von Magnesium:
 - Kürzere Vorwärmzeiten durch ebenes Gegenwerkzeug möglich



Vielen Dank für Ihre Aufmerksamkeit!





Förderhinweis:

Das IGF-Vorhaben 16699 BR der Forschungsvereinigung EFB wurde über die AiF im Rahmen des Programms zur Förderung der Industriellen Gemeinschaftsforschung und -entwicklung (IGF) vom Bundesministerium für Wirtschaft und Technologie aufgrund eines Beschlusses des Deutschen Bundestages gefördert.